

DSO源码解析

——滑窗优化



主讲人 龚益群

东北大学





预备知识



初始化



跟踪



建图



滑窗优化



总结



滑窗优化



1、滑窗优化



2、零空间的处理



3、DSO边缘化策略



4、FEJ策略



5、DSO中的solver



6、总结



滑窗优化



1、滑窗优化



2、零空间的处理



3、DSO边缘化策略



4、FEJ策略



5、DSO中的solver

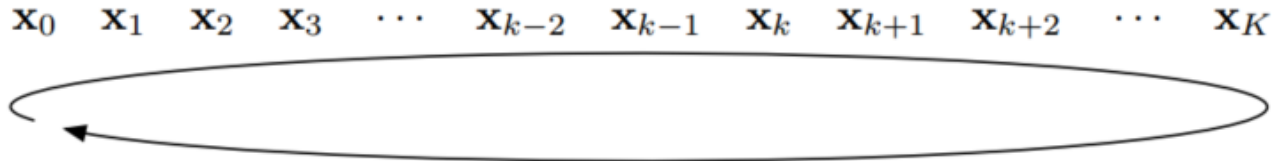


6、总结



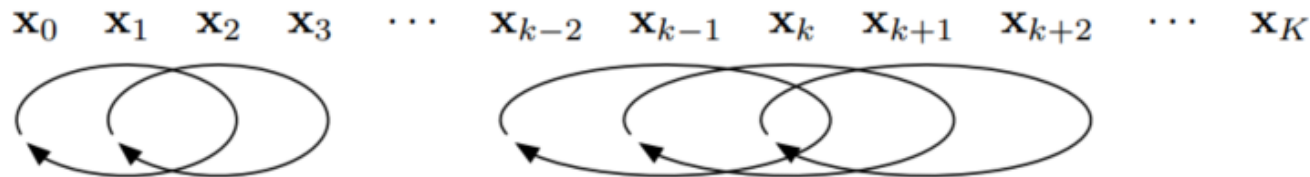
1、滑窗优化

- Batch (Full-Smoothen)



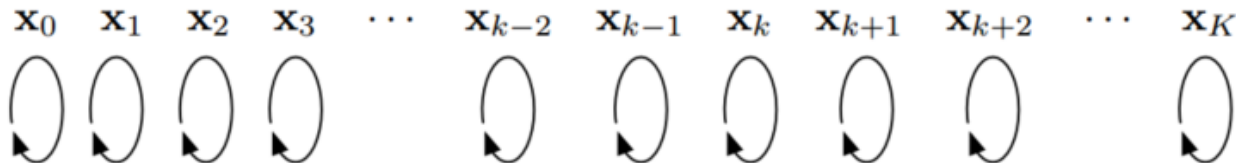
离线
非恒定时间

- Fixed-Lag (Sliding-Window)



在线
恒定时间

- Filter (EKF)



在线
恒定时间



1、滑窗优化

高斯牛顿法

● 高斯牛顿收敛性

- 最小二乘的目标函数为：

$$G(x) = \frac{1}{2} \|F(x)\|^2 \dots \dots (1)$$

- 对G(x)进行二次泰勒展开：

$$\begin{aligned} G(x_{k+1}) &= G(x_k) + \frac{\partial G}{\partial x} \Delta x + \frac{1}{2} \Delta x^T \frac{\partial^2 G}{\partial x^2} \Delta x \\ &= G(x_k) + F(x_k) \frac{\partial F}{\partial x} \Delta x + \dots \dots (2) \\ &\quad \frac{1}{2} \Delta x^T \left(\frac{\partial F^T}{\partial x} \frac{\partial F}{\partial x} + F(x_k) \frac{\partial^2 F}{\partial x^2} \right) \Delta x \end{aligned}$$

- 在高斯牛顿中，对F(x)进行一阶展开：

$$F(x_{k+1}) = F(x_k) + \frac{\partial F}{\partial x} \Delta x \dots \dots (3)$$

- 将公式(3)带入(1)得：

$$\begin{aligned} G(x_{k+1}) &= \frac{1}{2} F^2(x_k) + F(x_k) \frac{\partial F}{\partial x} \Delta x + \frac{1}{2} \Delta x^T \frac{\partial F^T}{\partial x} \frac{\partial F}{\partial x} \Delta x \dots \dots (4) \end{aligned}$$

- 对比公式(2)和(4)的二阶项，相差：

$$S(x^*) = F(x^*) \frac{\partial^2 F}{\partial x^2} \dots \dots (5)$$

- 做如下符号假设：

$$J(x) = \frac{\partial F}{\partial x} \quad H(x) = \frac{\partial^2 F}{\partial x^2}$$



- 高斯牛顿收敛性

根据公式(5)可知, 当 $x_k \rightarrow x^*$ 时, GN的收敛速度与最优残差量大小和线性程度相关, 具体如下:

- 二阶收敛: 当多余的项 $\|S(x^*)\| = 0$, 即 $F(x^*) = 0$ 或者 $H(x^*) = 0$ 时, 在零残差问题或者线性最小二乘情况具有Newton法的收敛速度。
- 线性收敛: 当 $\|S(x^*)\| \neq 0$, 则具有线性收敛速度, 随着 $\|S(x^*)\|$ 增大而变慢。
- $\|S(x^*)\|$ 很大, 则可能不收敛。
- H 要求正定, 非奇异, 要求极值点附近Lipschitz连续。



1、滑窗优化

Jacobian

● 求导的参数包括:

- 相对的光度参数
- 相对位姿
- 主帧上点的逆深度
- 相机内参

● 对主帧上逆深度求导

- 与初始化逆深度导数相同

$$\frac{\partial r_k}{\partial \delta d_{\mathbf{p}_i}} = \frac{1}{P'_z} d_x f_x \left(t_x - \frac{P'_x}{P'_z} t_z \right) + \frac{1}{P'_z} d_y f_y \left(t_y - \frac{P'_y}{P'_z} t_z \right)$$

● 对相对位姿求导

- 与初始化中位姿导数相同

$$\frac{\partial r_k}{\partial \delta \xi} = (d_x f_x \quad d_y f_y) \begin{pmatrix} \frac{d_{\mathbf{p}_i}}{P'_z} & 0 & -\frac{d_{\mathbf{p}_i}}{P'_z} \frac{P'_x}{P'_z} & -\frac{P'_x P'_y}{P'_z} & 1 + \frac{P_x'^2}{P_z'^2} & -\frac{P'_y}{P'_z} \\ 0 & \frac{d_{\mathbf{p}_i}}{P'_z} & -\frac{d_{\mathbf{p}_i}}{P'_z} \frac{P'_y}{P'_z} & -1 - \frac{P_y'^2}{P_z'^2} & \frac{P'_x P'_y}{P_z'^2} & \frac{P'_y}{P'_z} \end{pmatrix}$$



1、滑窗优化

Jacobian

● 对相对的光度参数求导:

$$r_k = I_j[\mathbf{p}_j] - \frac{t_j e^{a_j}}{t_i e^{a_i}} I_i[\mathbf{p}_i] - \left(b_j - \frac{t_j e^{a_j}}{t_i e^{a_i}} b_i \right)$$

$$r_k = I_j[\mathbf{p}_j] - e^{a_{ji}} I_i[\mathbf{p}_i] - (b_{ji})$$

• 光度求导的变量有变化

$$\delta_{\text{photo}} = [-e^{a_{ji}}, -b_{ji}]$$

$$\begin{aligned} \mathbf{J}_{\text{photo}} &= \frac{\partial r_k}{\partial \delta_{\text{photo}}} = \begin{bmatrix} \frac{\partial r_k}{\partial -e^{a_{ji}}} & \frac{\partial r_k}{\partial -b_{ji}} \end{bmatrix} \\ &= [I_i[\mathbf{p}_i] - b_i \quad 1] \end{aligned}$$

● 对相对内参求导:

$$\mathbf{P}'_i = \pi_{\mathbf{c}}^{-1}(\mathbf{p}_i) = \mathbf{K}^{-1} \begin{pmatrix} \mathbf{p}_i \\ 1 \end{pmatrix} \dots\dots(6)$$

$$\mathbf{P}'_j = \mathbf{R}\mathbf{P}'_i + \mathbf{t}d_{\mathbf{p}_i} \dots\dots(7)$$

$$\begin{pmatrix} \mathbf{p}_j \\ 1 \end{pmatrix} = \pi_{\mathbf{c}}(\omega(\mathbf{P}'_j)) \dots\dots(8)$$

• 将公式(8)里的公式进行展开

$$\omega(\mathbf{P}'_j) = \begin{bmatrix} \frac{P'_{jx}}{P'_{jz}} \\ \frac{P'_{jy}}{P'_{jz}} \\ \frac{P'_{jz}}{P'_{jz}} \\ 1 \end{bmatrix} = \begin{bmatrix} u_j \\ v_j \\ 1 \end{bmatrix} \dots\dots(9)$$

$$\mathbf{p}_{jx} = f_x \cdot \frac{P'_{jx}}{P'_{jz}} + c_x \dots\dots(10)$$

$$\mathbf{p}_{jy} = f_y \cdot \frac{P'_{jy}}{P'_{jz}} + c_y \dots\dots(11)$$



1、滑窗优化

Jacobian

● 对相对内参求导：

$$\frac{\partial r_k}{\partial \delta \mathbf{c}} = \mathbf{J}_I \cdot \frac{\partial \mathbf{p}_j}{\partial \delta \mathbf{c}}$$

- 像素坐标针对相机参数求导包含两部分，投影和反投影：

$$\frac{\partial \mathbf{p}_j}{\partial \delta \mathbf{c}} = \underbrace{\begin{pmatrix} u_j & 0 & 1 & 0 \\ 0 & v_j & 0 & 1 \end{pmatrix}}_{\text{投影}} + \underbrace{\begin{pmatrix} f_x & 0 \\ 0 & f_y \end{pmatrix} \frac{\partial \omega(\mathbf{P}'_j)}{\partial \delta \mathbf{c}}}_{\text{反投影}}$$

- 结合公式(9)有：

$$\frac{\partial \omega(\mathbf{P}'_j)}{\partial \delta \mathbf{c}} = \frac{\partial \omega(\mathbf{P}'_j)}{\partial \mathbf{P}'_i} \frac{\partial \mathbf{P}'_i}{\partial \delta \mathbf{c}} = \begin{pmatrix} \frac{\partial u_j}{\partial \delta \mathbf{c}} \\ \frac{\partial v_j}{\partial \delta \mathbf{c}} \end{pmatrix} \dots \dots (12)$$

- 结合公式(7)(8)将公式(12)分别展开：

$$\frac{\partial \omega(\mathbf{P}'_j)}{\partial \mathbf{P}'_i} = \frac{\partial \omega(\mathbf{P}'_j)}{\partial \mathbf{P}'_j} \frac{\partial \mathbf{P}'_j}{\partial \mathbf{P}'_i} = \frac{1}{P'_{jz}} \underbrace{\begin{pmatrix} 1 & 0 & -u_j \\ 0 & 1 & -v_j \\ 0 & 0 & 0 \end{pmatrix}}_{\text{投影过程}} \underbrace{\begin{pmatrix} r_{00} & r_{01} & r_{02} \\ r_{10} & r_{11} & r_{12} \\ r_{20} & r_{21} & r_{22} \end{pmatrix}}_{\text{旋转 } \mathbf{R}} \dots \dots (13)$$

$$\frac{\partial \mathbf{P}'_i}{\partial \delta \mathbf{c}} = \frac{\partial \mathbf{K}^{-1} \mathbf{p}_i}{\partial \delta \mathbf{c}}$$

$$= \begin{pmatrix} -f_x^{-2}(p_{ix} - c_x) & 0 & -f_x^{-1} & 0 \\ 0 & -f_y^{-2}(p_{iy} - c_y) & 0 & -f_y^{-1} \\ 0 & 0 & 0 & 0 \end{pmatrix} = \begin{pmatrix} -f_x^{-1} P'_{ix} & 0 & -f_x^{-1} & 0 \\ 0 & -f_y^{-1} P'_{iy} & 0 & -f_y^{-1} \\ 0 & 0 & 0 & 0 \end{pmatrix} \dots \dots (14)$$



1、滑窗优化

Jacobian

● 对相对内参求导:

- 结合公式(12)(13)(14)得到:

- 针对坐标 u_j :

$$\frac{\partial u_j}{\partial \delta \mathbf{c}} = \frac{\partial u_j}{\partial \mathbf{P}'_i} \frac{\partial \mathbf{P}'_i}{\partial \delta \mathbf{c}} \quad \text{公式(13)}$$

$$= \frac{1}{P'_z} (1 \quad 0 \quad -u_j) \mathbf{R} \begin{pmatrix} -f_x^{-1} P_x & 0 & -f_x^{-1} & 0 \\ 0 & -f_y^{-1} P_y & 0 & -f_y^{-1} \\ 0 & 0 & 0 & 0 \end{pmatrix} \quad \text{公式(14)}$$

$$= \frac{1}{P'_z} \begin{pmatrix} P_x f_x^{-1} (r_{20} u_j - r_{00}) \\ P_y f_y^{-1} (r_{21} u_j - r_{01}) \\ f_x^{-1} (r_{20} u_j - r_{00}) \\ f_y^{-1} (r_{21} u_j - r_{01}) \end{pmatrix}^T \quad \dots \dots (15)$$

- 同理针对坐标 v_j :

$$\frac{\partial v_j}{\partial \delta \mathbf{c}} = \frac{\partial v_j}{\partial \mathbf{P}'_i} \frac{\partial \mathbf{P}'_i}{\partial \delta \mathbf{c}}$$

$$= \frac{1}{P'_z} \begin{pmatrix} P_x f_x^{-1} (r_{20} v_j - r_{10}) \\ P_y f_y^{-1} (r_{21} v_j - r_{11}) \\ f_x^{-1} (r_{20} v_j - r_{10}) \\ f_y^{-1} (r_{21} v_j - r_{11}) \end{pmatrix}^T \quad \dots \dots (16)$$



1、滑窗优化

Jacobian

● 对相对内参求导：

- 结合公式(12)(15)(16)得到总体导数：

$$\begin{aligned}
 \frac{\partial r_k}{\partial \delta \mathbf{c}} &= \mathbf{J}_I \cdot \frac{\partial \mathbf{p}_j}{\partial \delta \mathbf{c}} \\
 &= \mathbf{J}_I \left(\begin{pmatrix} u_j & 0 & 1 & 0 \\ 0 & v_j & 0 & 1 \end{pmatrix} + \begin{pmatrix} f_x & 0 \\ 0 & f_y \end{pmatrix} \begin{pmatrix} \frac{\partial u_j}{\partial \delta \mathbf{c}} \\ \frac{\partial v_j}{\partial \delta \mathbf{c}} \end{pmatrix} \right) \\
 &= \mathbf{J}_I \begin{pmatrix} u_j & 0 & 1 & 0 \\ 0 & v_j & 0 & 1 \end{pmatrix} + \mathbf{J}_I \frac{1}{P'_z} \begin{pmatrix} P_x(r_{20}u - r_{00}) & P_y \frac{f_x}{f_y} (r_{21}u - r_{01}) & (r_{20}u - r_{00}) & \frac{f_x}{f_y} (r_{21}u - r_{01}) \\ P_x \frac{f_y}{f_x} (r_{20}v - r_{10}) & P_y (r_{21}v - r_{11}) & \frac{f_y}{f_x} (r_{20}v - r_{10}) & (r_{21}v - r_{11}) \end{pmatrix}
 \end{aligned}$$



滑窗优化



1、滑窗优化



2、零空间的处理



3、DSO边缘化策略



4、FEJ策略



5、DSO中的solver



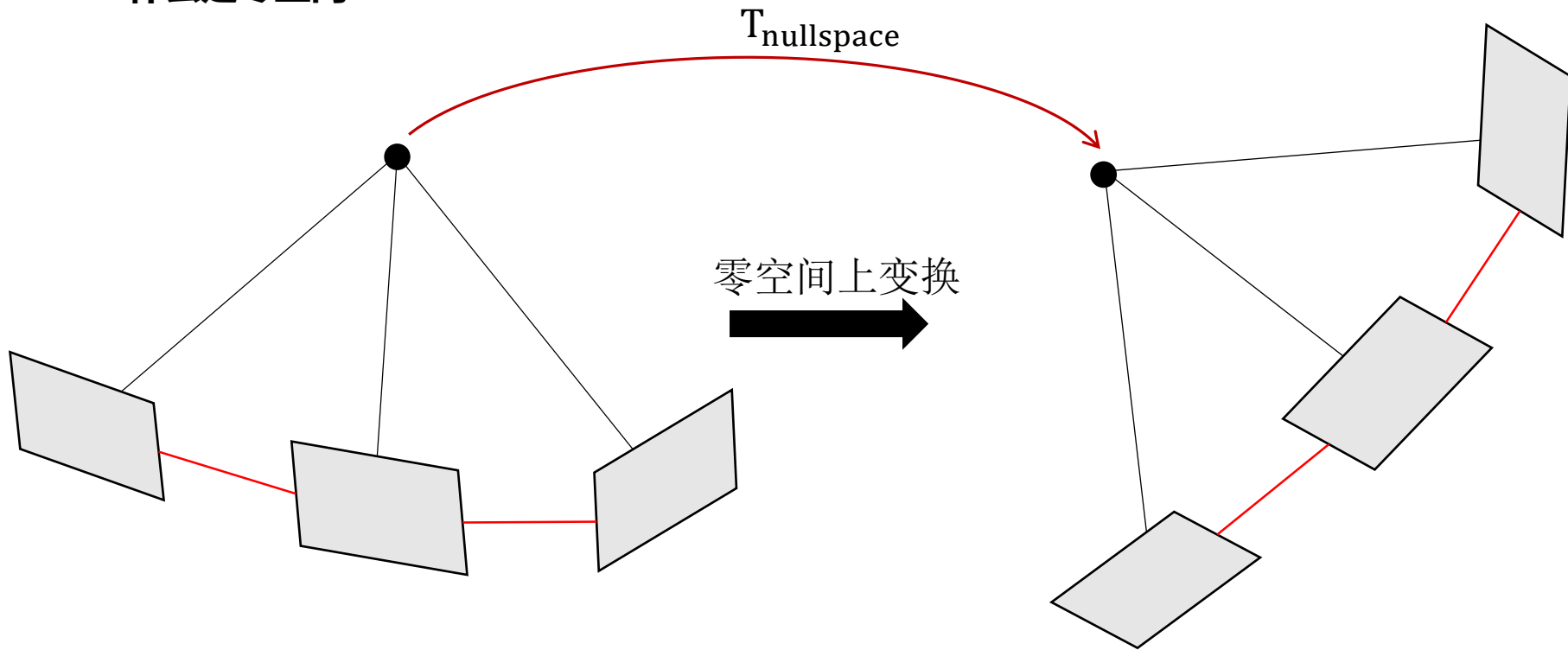
6、总结



2、零空间的处理

零空间理解

- 什么是零空间:





2、零空间的处理

零空间理解

● 什么是零空间:

- 对于系统的正规方程有:

$$\mathbf{H}\Delta x = \mathbf{b} \dots \dots (17)$$

- 其中海森矩阵的零空间满足:

$$\mathbf{H}\Delta x_{ns} = 0 \dots \dots (18)$$

- 结合式(17,18), 一定满足:

$$\mathbf{H}(\Delta x + \Delta x_{ns}) = \mathbf{b} \dots \dots (19)$$

- 因此在零空间上的漂移不会违反系统的约束, 但是会对结果产生影响。

- 对于零空间上的状态量都无法满足, 因此是不可观的。

$$\forall \theta \in \mathbb{R}^d, \{\theta \neq \theta_0\} \Rightarrow \{h(\theta) \neq h(\theta_0)\}$$

- 对于VO, 7自由度的状态是都不可观的, 都是位于系统零空间上的。



2、零空间的处理

求零空间

● 怎么求零空间:

- 对于VO来说, 是7个自由度不可观的, 即零空间是以这7个状态量为基构成的。需要注意的是零空间的变换是global的, 求基方法即增加global小量扰动。
- 然而要求的是每帧位姿, 使用伴随性质将global增量变换到local上, 具体:
- 伴随性质定义为
- 公式 (21) 结合 (20) 变换后有:

$$\text{Exp}(\text{Ad}_{\mathbf{T}} \cdot \xi) \doteq \mathbf{T} \text{Exp}(\xi) \mathbf{T}^{-1} \dots \dots (20)$$

- 对于位姿来说, 左乘表示全局的扰动, 右乘表示局部扰动。假设两个等价变换:

$$\mathbf{T}_{wc} \text{Exp}(\delta \xi_c) = \text{Exp}(\delta \xi_w) \mathbf{T}_{wc} \dots \dots (21)$$

$$\text{Exp}(\delta \xi_c) = \mathbf{T}_{cw} \text{Exp}(\delta \xi_w) \mathbf{T}_{wc}$$

$$\delta \xi_c = \text{Ad}_{\mathbf{T}_{cw}} \delta \xi_w$$

局部
增量

全局
增量

$$\begin{aligned} \mathbf{R}_{IC} \mathbf{R}_{CW} &= \mathbf{R}_{IW} \\ \mathbf{R}_{WC} &= \mathbf{R}_{WI} \mathbf{R}_{IC} \end{aligned}$$



2、零空间的处理

求零空间

● 怎么求零空间：

- 举例：以位姿中的一个值为例，求零空间基。
- 对于VIO系统零空间有解析解

$$\delta \xi_1 = [\epsilon \quad 0 \quad 0 \quad 0 \quad 0 \quad 0]^T$$

$$\delta \xi_2 = [-\epsilon \quad 0 \quad 0 \quad 0 \quad 0 \quad 0]^T$$

- 求global扰动导致的local的扰动增量。

$$\Delta \mathbf{T}_p = \mathbf{T} \text{Exp}(\delta \xi_1) \mathbf{T}^{-1}$$

$$\Delta \mathbf{T}_n = \mathbf{T} \text{Exp}(\delta \xi_2) \mathbf{T}^{-1}$$

- 最终求得滑窗内的零空间基。

$$t_{x_{nullspace}} = \frac{\log(\Delta \mathbf{T}_p) - \log(\Delta \mathbf{T}_n)}{\delta \xi_1 - \delta \xi_2}$$

$$\mathbf{N}_1 = \begin{bmatrix} \mathbf{0}_3 & \mathbf{C}({}^I \bar{q}_{G,1}) {}^G \mathbf{g} \\ \mathbf{0}_3 & \mathbf{0}_3 \\ \mathbf{0}_3 & -[{}^G \mathbf{v}_{I,1} \times] {}^G \mathbf{g} \\ \mathbf{0}_3 & \mathbf{0}_3 \\ \mathbf{I}_3 & -[{}^G \mathbf{p}_{I,1} \times] {}^G \mathbf{g} \\ \mathbf{I}_3 & -[{}^G \mathbf{f} \times] {}^G \mathbf{g} \end{bmatrix}$$

$$= [\mathbf{N}_{t,1} \quad | \quad \mathbf{N}_{r,1}]$$

- 横向量对应状态为

$$[\text{rotation}, \text{bias}_g, \text{velocity}, \text{bias}_a, \text{position}, \text{map}]^T$$



2、零空间的处理

零空间处理

● 如何处理零空间：

- Gauge fixation：把不可观的状态固定为某一些值，具体的为固定第一帧的位姿，等价于设对应的残差雅克比为0。相当于权重趋近于无穷大。
- Gauge prior：给这些状态设置先验，增加相应的惩罚项。
- Free gauge：让它自由演变，不管，使用伪逆或者增加阻尼（LM）使得问题可解。相当于先验权重为0。

	Size of parameter vec.	Hessian (Normal eqs)
Fixed gauge	$n - 4$	inverse, $(n - 4) \times (n - 4)$
Gauge prior	n	inverse, $n \times n$
Free gauge	n	pseudoinverse, $n \times n$



2、零空间的处理

零空间处理

● 如何处理零空间:

Constructing Orthogonal Projectors

Let \mathcal{M} be an r -dimensional subspace of \mathbb{R}^n , and let the columns of $\mathbf{M}_{n \times r}$ and $\mathbf{N}_{n \times n-r}$ be bases for \mathcal{M} and \mathcal{M}^\perp , respectively. The orthogonal projectors onto \mathcal{M} and \mathcal{M}^\perp are

$$\bullet \quad \mathbf{P}_{\mathcal{M}} = \mathbf{M}(\mathbf{M}^T \mathbf{M})^{-1} \mathbf{M}^T \quad \text{and} \quad \mathbf{P}_{\mathcal{M}^\perp} = \mathbf{N}(\mathbf{N}^T \mathbf{N})^{-1} \mathbf{N}^T. \quad (5.13.3)$$

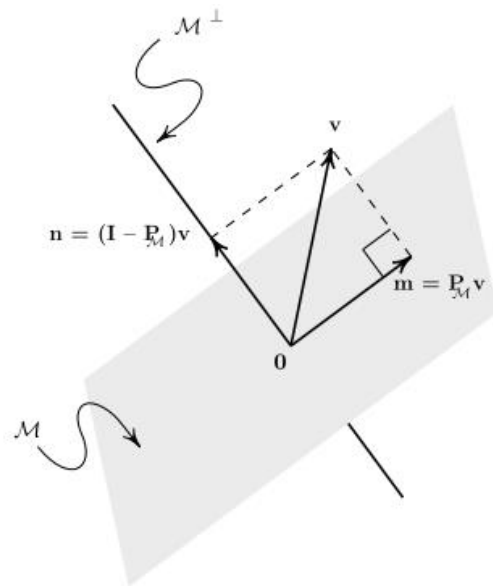
If \mathbf{M} and \mathbf{N} contain *orthonormal* bases for \mathcal{M} and \mathcal{M}^\perp , then

$$\bullet \quad \mathbf{P}_{\mathcal{M}} = \mathbf{M} \mathbf{M}^T \quad \text{and} \quad \mathbf{P}_{\mathcal{M}^\perp} = \mathbf{N} \mathbf{N}^T. \quad (5.13.4)$$

$$\bullet \quad \mathbf{P}_{\mathcal{M}} = \mathbf{U} \begin{pmatrix} \mathbf{I}_r & \mathbf{0} \\ \mathbf{0} & \mathbf{0} \end{pmatrix} \mathbf{U}^T, \quad \text{where } \mathbf{U} = (\mathbf{M} | \mathbf{N}). \quad (5.13.5)$$

$$\bullet \quad \mathbf{P}_{\mathcal{M}^\perp} = \mathbf{I} - \mathbf{P}_{\mathcal{M}} \quad \text{in all cases.} \quad (5.13.6)$$

Note: Extensions of (5.13.3) appear on p. 634.



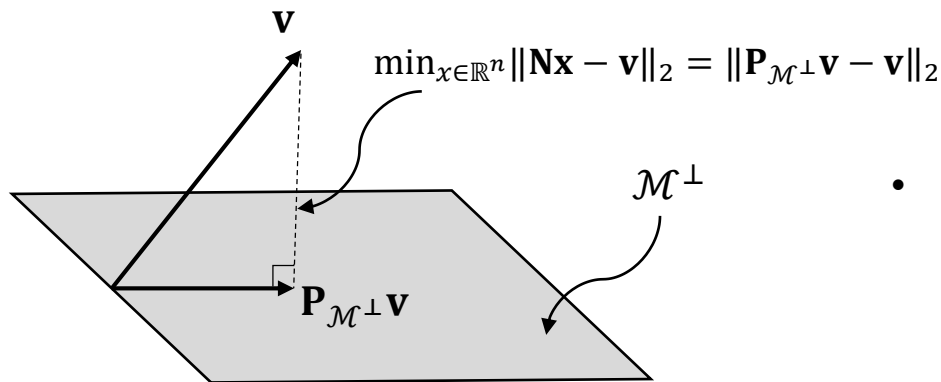


2、零空间的处理

零空间处理

● 如何处理零空间:

- \mathbf{N} 是空间 \mathcal{M}^\perp 的一组基, 也就是 \mathcal{M} 的零空间的一组基。
- 对于零空间, 求解如下最小二乘



$$\mathbf{N}\mathbf{x} = \mathbf{v}$$

$$\mathbf{N}^T(\mathbf{N}\mathbf{x} - \mathbf{v}) = \mathbf{0}$$

$$\mathbf{x} = (\mathbf{N}^T \mathbf{N})^{-1} \mathbf{N}^T \mathbf{v}$$

- 想求得零空间上的分量

$$\mathbf{N}\mathbf{x} = \mathbf{P}_{\mathcal{M}^\perp} \mathbf{v}$$

$$\mathbf{P}_{\mathcal{M}^\perp} \mathbf{v} = \mathbf{N}(\mathbf{N}^T \mathbf{N})^{-1} \mathbf{N}^T \mathbf{v}$$

伪逆

1. 公式
2. SVD
3. QR

伪逆



滑窗优化



1、滑窗优化



2、零空间的处理



3、DSO边缘化策略



4、FEJ策略



5、DSO中的solver



6、总结



3、DSO边缘化策略

边缘化的方法

● 边缘化的方法

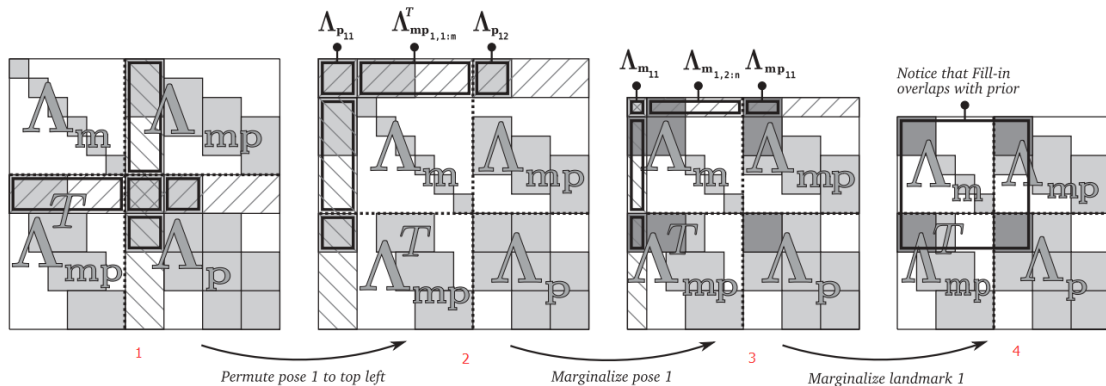
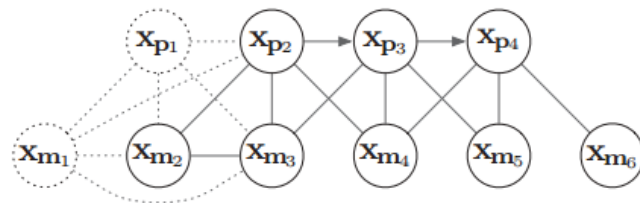
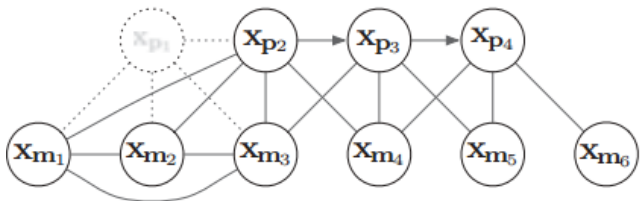
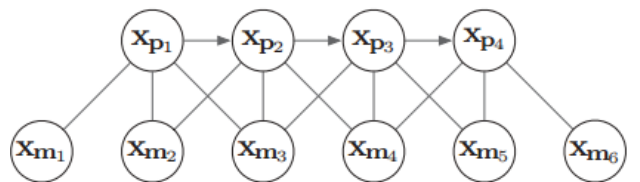


Table 3: Overall Running Time

Marginalization Algorithm	Average Running Time(s)
Optimization with Schur Complement Marginalization	0.0440574
Optimization with Given Rotations	0.00953969

Table 4: Marginalization Method Comparison

Marginalization Algorithm	Average Running Time(s)	Speed Rank
Full Schur Complement	0.0321067	5
Null Space with Given Rotations	0.0000867469	2
Null Space with HouseHolder QR	0.000116933	3
Null Space with Direct HouseHolder	0.000118446	4
Null Space with Projection Form	0.0000757341	1



3、DSO边缘化策略

边缘化的方法

- 边缘化和高斯推断

- 边缘化是把变量积分消掉，条件概率是把变量当作常量消去

$$p(\alpha, \beta) = \mathcal{N}\left(\begin{bmatrix} \mu_\alpha \\ \mu_\beta \end{bmatrix}, \begin{bmatrix} \Sigma_{\alpha\alpha} & \Sigma_{\alpha\beta} \\ \Sigma_{\beta\alpha} & \Sigma_{\beta\beta} \end{bmatrix}\right) = \mathcal{N}^{-1}\left(\begin{bmatrix} \eta_\alpha \\ \eta_\beta \end{bmatrix}, \begin{bmatrix} \Lambda_{\alpha\alpha} & \Lambda_{\alpha\beta} \\ \Lambda_{\beta\alpha} & \Lambda_{\beta\beta} \end{bmatrix}\right)$$

	MARGINALIZATION	CONDITIONING
	$p(\alpha) = \int p(\alpha, \beta) d\beta$	$p(\alpha \beta) = p(\alpha, \beta) / p(\beta)$
COVARIANCE FORM	$\mu = \mu_\alpha$ $\Sigma = \Sigma_{\alpha\alpha}$	$\mu' = \mu_\alpha + \Sigma_{\alpha\beta} \Sigma_{\beta\beta}^{-1} (\beta - \mu_\beta)$ $\Sigma' = \Sigma_{\alpha\alpha} - \Sigma_{\alpha\beta} \Sigma_{\beta\beta}^{-1} \Sigma_{\beta\alpha}$
INFORMATION FORM	$\eta = \eta_\alpha - \Lambda_{\alpha\beta} \Lambda_{\beta\beta}^{-1} \eta_\beta$ $\Lambda = \Lambda_{\alpha\alpha} - \Lambda_{\alpha\beta} \Lambda_{\beta\beta}^{-1} \Lambda_{\beta\alpha}$	$\eta' = \eta_\alpha - \Lambda_{\alpha\beta} \beta$ $\Lambda' = \Lambda_{\alpha\alpha}$



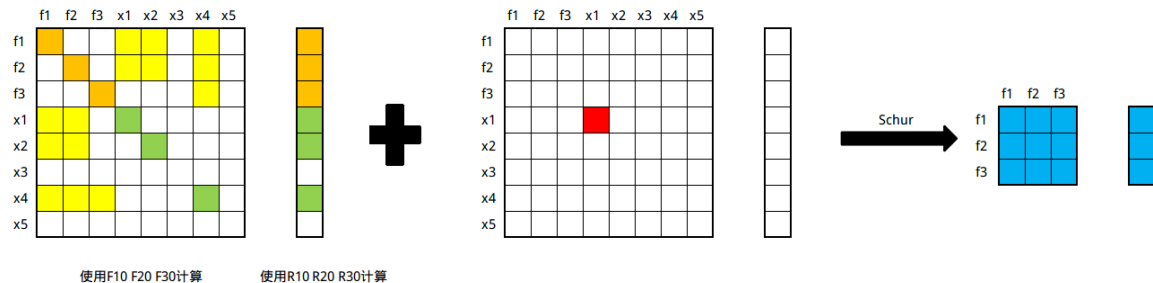
3、DSO边缘化策略

边缘化策略

● 点marg策略

- 边缘化使得点的残差变很少、最新一帧看不到、连续两帧外点，主帧被边缘化的点候选边缘化或删除
- 如果是内点，并且逆深度协方差小于阈值则标记为边缘化
- 其它的直接丢弃
- 把挑出来的边缘化点构造H- HSC /b- bSC，加到HM，bM中
- 注：点的边缘化会导致帧之间的Hessian变稠密，因此需要合理选择。
- 注：DSO里将marg掉的点的所有观测都扔掉，不会移动host。

边缘化：





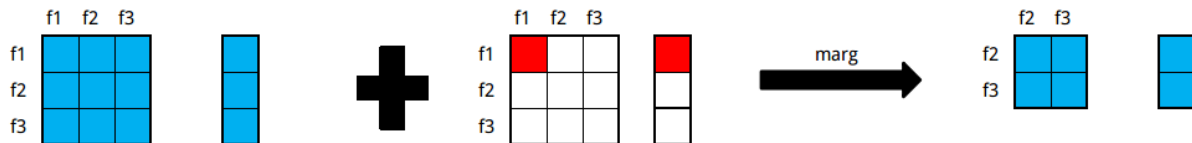
3、DSO边缘化策略

边缘化策略

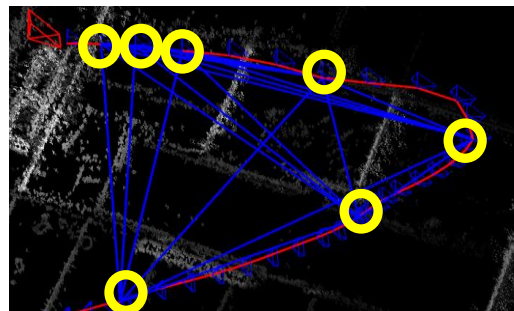
● 帧marg策略

- 留下的点(去除边缘化+删除)占当前可见所有点小于5%
- 和参考帧比**曝光变化**较大
- 保证滑窗内有5个关键帧
- 如果还大于7个关键帧，则边缘化掉到最新关键帧的距离占有所有距离比最大的。保证良好的空间结构

$$s(I_i) = \sqrt{d(i, 1)} \sum_{j \in [3, n] \setminus \{i\}} (d(i, j) + \epsilon)^{-1}$$



边缘化的时候加上先验



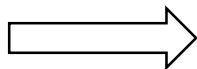


3、DSO边缘化策略

边缘化操作

● AccumulatedSCHessianSSE

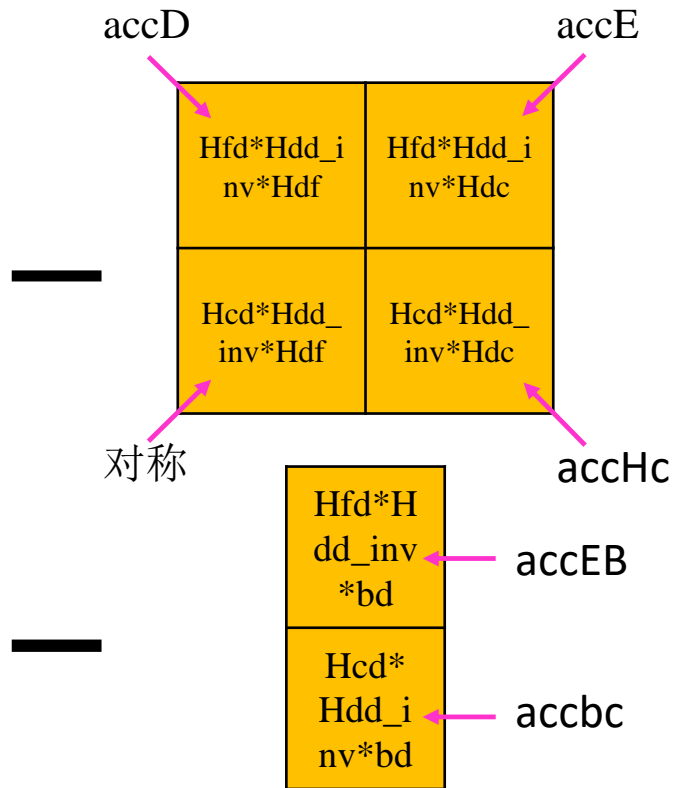
Hff	Hfc	Hfd	bf
Hcf	Hcc	Hcd	bc
Hdf	Hdc	Hdd	bd



Hff	Hfc
Hcf	Hcc

bf
bc

f: 位姿 (6) , 光度 (2)
c: 相机内参 (4)
d: 逆深度 (n)

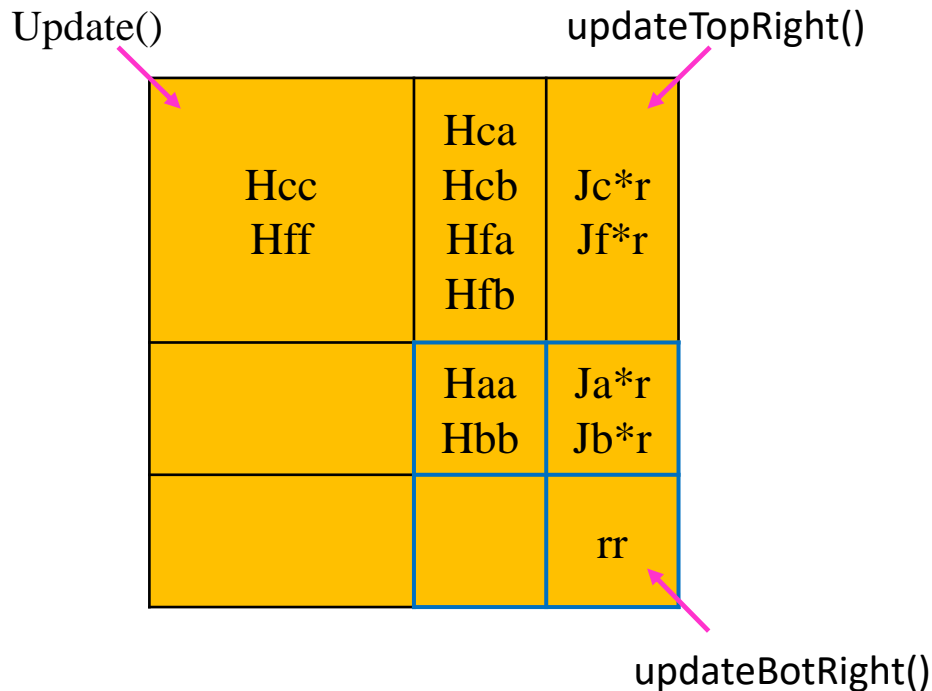




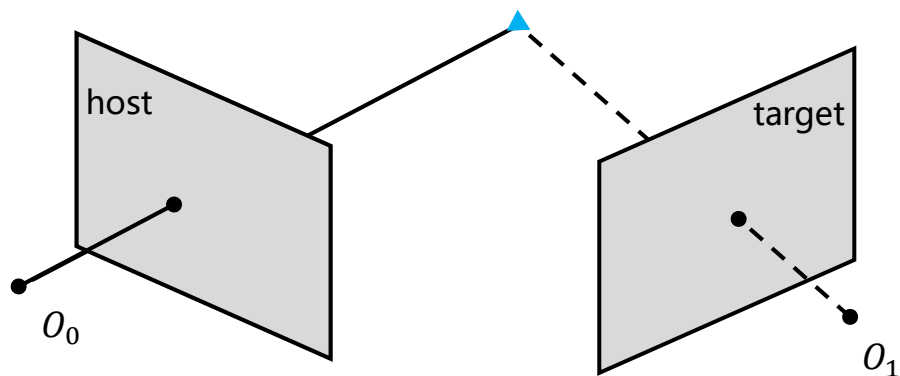
3、DSO边缘化策略

边缘化操作

● AccumulatedTopHessianSSE



- 为了保证滑窗内的每一帧都被优化，需要使得Hff对称
- 还会加上先验.





滑窗优化



1、滑窗优化



2、零空间的处理



3、DSO边缘化策略



4、FEJ策略



5、DSO中的solver



6、总结



● FEJ介绍

- 普通的BA中在 $[0, k']$ 内的信息矩阵

$$\mathbf{H}_{ba}(k') = \sum_{(i,j) \in \mathcal{S}} \mathbf{J}_{ij}^T(k') \mathbf{R}_{ij}^{-1} \mathbf{J}_{ij}(k')$$

- 滑窗算法中的信息矩阵

$$\mathbf{H}_{mar}(k') = \sum_{(i,j) \in \mathcal{S}_m} \mathbf{J}_{ij}^T(k) \mathbf{R}_{ij}^{-1} \mathbf{J}_{ij}(k) + \sum_{(i,j) \in \mathcal{S}_a(k')} \mathbf{J}_{ij}^T(k') \mathbf{R}_{ij}^{-1} \mathbf{J}_{ij}(k')$$

- 这两个不同状态使得某些可以消去的项变得不行。因此两个矩阵的秩变得不一样。

$$\text{rank}(\mathbf{H}_{mar}(k')) = \text{rank}(\mathbf{H}_{ba}(k')) + 3$$

- 这使得信息矩阵包含了更多的信息（沿着状态空间的更多方向），因此低估了状态的不确定性。使得该问题变得不一致且是次优的。

- 在当前状态和边缘化状态相连时，使用边缘化时刻的状态来计算后面的雅克比。这样保证了信息矩阵只有一个状态，这样导致了线性化误差，因此使用时还是要保证在较好的状态下。

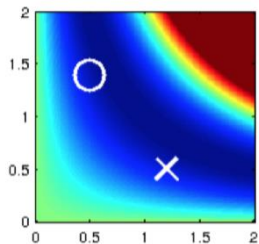


4、FEJ策略

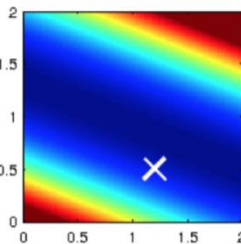
FEJ举例

Windowed, real-time optimization: Consistency.

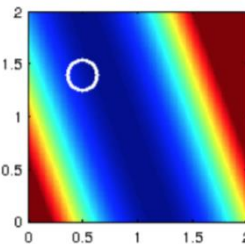
(for now, let's assume we have initializations, and know which points to use and where they are visible.)



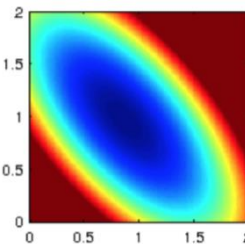
$$E = E_1 + E_2 \\ = (xy - 1)^2 + (xy - 1)^2$$



$$E'_1 = E_1 \\ \text{Lin. around } (0.5, 1.4)$$



$$E'_2 = E_2 \\ \text{Lin. around } (1.2, 0.5)$$



$$E' = E'_1 + E'_2$$

nullspace disappears!

never combine linearizations around different linearization points,
especially in the presence of non-linear nullspaces!
It will render unobservable dimensions observable, and corrupt the system.



4、FEJ策略

FEJ举例

● FEJ举例说明

- 类似SLAM中对能量进行线性化：

$$E = E_1 + E_2$$

$$E_1 = E_2 = (xy - 1)^2$$

$$E'_1 = E'_2 = ((x_0 y_0 - 1) + y_0(x - x_0) + x_0(y - y_0))^2$$

- 对于能量在不同的点进行线性化展开：

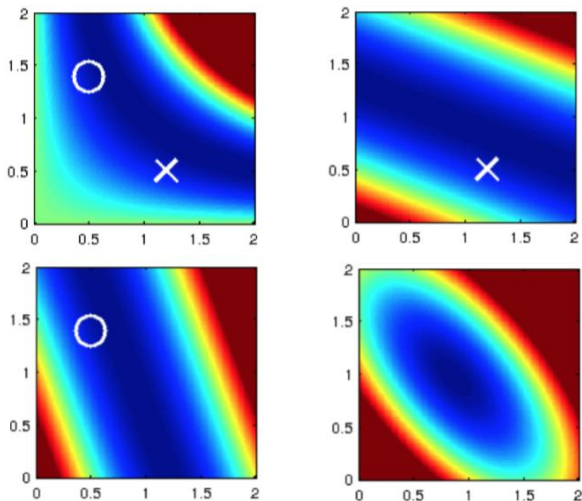
$$E'_1 = (1.4x + 0.5y - 1.7)^2$$

$$E'_2 = (0.5x + 1.2y - 1.6)^2$$

- 求得总能量：

$$E' = E'_1 + E'_2$$

$$= (1.4x + 0.5y - 1.7)^2 + (0.5x + 1.2y - 1.6)^2$$





4、FEJ策略

DSO中FEJ

● DSO中FEJ的使用

- 因为DSO部分状态使用FEJ，所以需要保存不同状态的值。
- 固定的线性化点位置的相对位姿。

FrameFramePrecalc::PRE_RTII_0/PRE_tTII_0

- 优化更新状态后的相对位姿。

FrameFramePrecalc::PRE_RTII / PRE_tTII

- 固定线性化点处的光度参数b。

FrameFramePrecalc::PRE_b0_mode

- 其中位姿 / 光度参数使用固定线性化点，逆深度 / 内参 / 图像导数都没有固定线性化点。

- 逆深度每次都会重新设置线性化点，相当于没有固定，虽然代码写的很像。

- 残差更新，HM和bM是边缘化得到的，因为被边缘化后没办法project计算新的残差，因此使用一阶泰勒方式更新。

$$bM_top = (bM + HM * getStitchedDeltaF())$$



滑窗优化



1、滑窗优化



2、零空间的处理



3、DSO边缘化策略



4、FEJ策略



5、DSO中的solver



6、总结



5、DSO中的solver

伴随的应用

● 求解中的伴随性质

- 伴随性质

$$\text{Exp}(\text{Ad}_{\mathbf{T}} \cdot \xi) \doteq \mathbf{T} \text{Exp}(\xi) \mathbf{T}^{-1}$$

- 线性化点相对位姿和绝对位姿的关系:

$$\mathbf{T}_{th} = \mathbf{T}_{tw} \mathbf{T}_{hw}^{-1}$$

- 相对位姿se3对host se3导数:

$$\text{Exp}(\delta \xi_{th}) \mathbf{T}_{th} = \mathbf{T}_{tw} (\text{Exp}(\delta \xi_h) \mathbf{T}_{hw})^{-1}$$

$$\begin{aligned} \text{Exp}(\delta \xi_{th}) &= \mathbf{T}_{tw} \mathbf{T}_{hw}^{-1} \text{Exp}(-\delta \xi_h) \mathbf{T}_{th}^{-1} \\ &= \mathbf{T}_{th} \text{Exp}(-\delta \xi_h) \mathbf{T}_{th}^{-1} \\ &= \text{Exp}(-\text{Ad}_{\mathbf{T}_{th}}(\delta \xi_h)) \end{aligned}$$

- 得到相对位姿和绝对位姿之间的关系

$$\delta \xi_{th} = -\text{Ad}_{\mathbf{T}_{th}} \delta \xi_h$$

$$\frac{\partial \xi_{th}}{\partial \xi_h} = -\text{Ad}_{\mathbf{T}_{th}}$$



5、DSO中的solver

伴随的应用

● 求解中的伴随性质

- 相对位姿se3对target se3求导:

$$\text{Exp}(\delta\xi_{th})\mathbf{T}_{th} = \text{Exp}(\delta\xi_t)\mathbf{T}_{tw}\mathbf{T}_{hw}^{-1}$$

$$\text{Exp}(\delta\xi_{th}) = \text{Exp}(\delta\xi_t)\mathbf{T}_{tw}\mathbf{T}_{hw}^{-1}\mathbf{T}_{th}^{-1}$$

$$= \text{Exp}(\delta\xi_t)$$

- 得到相对位姿和绝对位姿之间的关系

$$\delta\xi_{th} = \delta\xi_t$$

$$\frac{\partial\xi_{th}}{\partial\xi_t} = \mathbf{I}$$

- 相对光度参数对host和target求导
- host和target之间的相对光度参数为

$$\delta a = -\frac{t_j e^{a_j}}{t_i e^{a_i}}, \quad \delta b = -b_j + \frac{t_j e^{a_j}}{t_i e^{a_i}} b_i$$

- 相对量对绝对量求导

$$\frac{\partial\delta a}{\partial a_j} = -\frac{t_j e^{a_j}}{t_i e^{a_i}} = -e^{a_{ji}} \quad \frac{\partial\delta a}{\partial a_i} = \frac{t_j e^{a_j}}{t_i e^{a_i}} = e^{a_{ji}}$$

$$\frac{\partial\delta b}{\partial b_j} = \frac{t_j e^{a_j}}{t_i e^{a_i}} = -1 \quad \frac{\partial\delta b}{\partial b_i} = \frac{t_j e^{a_j}}{t_i e^{a_i}} = e^{a_{ji}}$$



- 先验说明
 - **EF->cPrior EF->cDeltaF**
 - 相机参数的先验信息：Hessian是很大的常数；delta估计值与设置的初值的差；
 - **p->priorF p->deltaF**
 - 点逆深度的先验信息：第一帧上的有(2500)，其它帧上的为0；deltaF值为0(因为线性化点被更新了)
 - **EF->frames->prior EF->frames->delta_prior**
 - 位姿光度的先验信息：第一帧位姿Hessian常数，光度Hessian常数($1e14$)；其它帧位姿Hessian为零，光度Hessian常数($1e12/1e8$)；delta估计值与固定线性化点的差；
 - **fixLinearizationF()**
 - 因为状态需要固定在线性化点位置，边缘化一个点前会重新线性化一次，这时得到的resF是使用最新状态线性化的，使用该函数减去 $J \times \text{delta}$ 得到在线性化点状态的residual。



5、DSO中的solver

Solver

● 各种solver

$$\mathbf{H}\mathbf{x} = \mathbf{b}$$

- SOLVER_ORTHOGONALIZE_SYSTEM 进行Schur消元, 使用正交投影 \mathbf{H} 和 \mathbf{b}
- SOLVER_ORTHOGONALIZE_X_LATER
- SOLVER_ORTHOGONALIZE_X

进行Schur消元, 使用正交投影 \mathbf{x}

- SOLVER_SVD
- SOLVER_SVD_CUT7

$$\mathbf{H}' = \mathbf{S}\mathbf{H}\mathbf{S} \quad \mathbf{b}' = \mathbf{S}\mathbf{b}$$

$$\mathbf{H}'\mathbf{x} = \mathbf{U}\mathbf{\Sigma}\mathbf{V}^T\mathbf{x} = \mathbf{b}$$

$$\mathbf{\Sigma}\mathbf{V}^T\mathbf{x} = \mathbf{U}^T\mathbf{b}$$

对奇异值较小的, 置零处理。
若用CUT7, 要保证后7列为零。

$$\mathbf{x} = \mathbf{V}\mathbf{\Sigma}'^{-1}\mathbf{U}^T\mathbf{b}$$

- SOLVER_REMOVE_POSEPRIOR

不使用第一帧上点和位姿的大先验

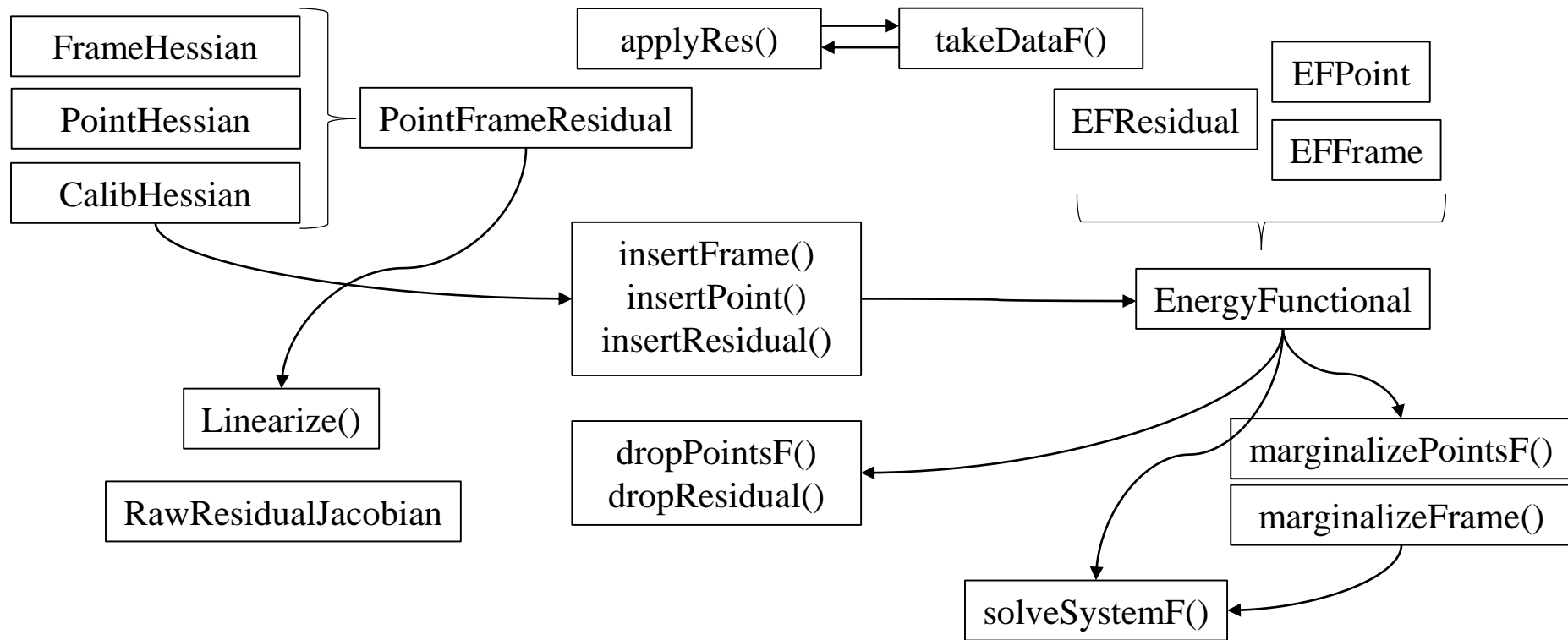
- SOLVER_ORTHOGONALIZE_POINTMARG
- SOLVER_ORTHOGONALIZE_FULL



5、DSO中的solver

optimize

● 变量梳理

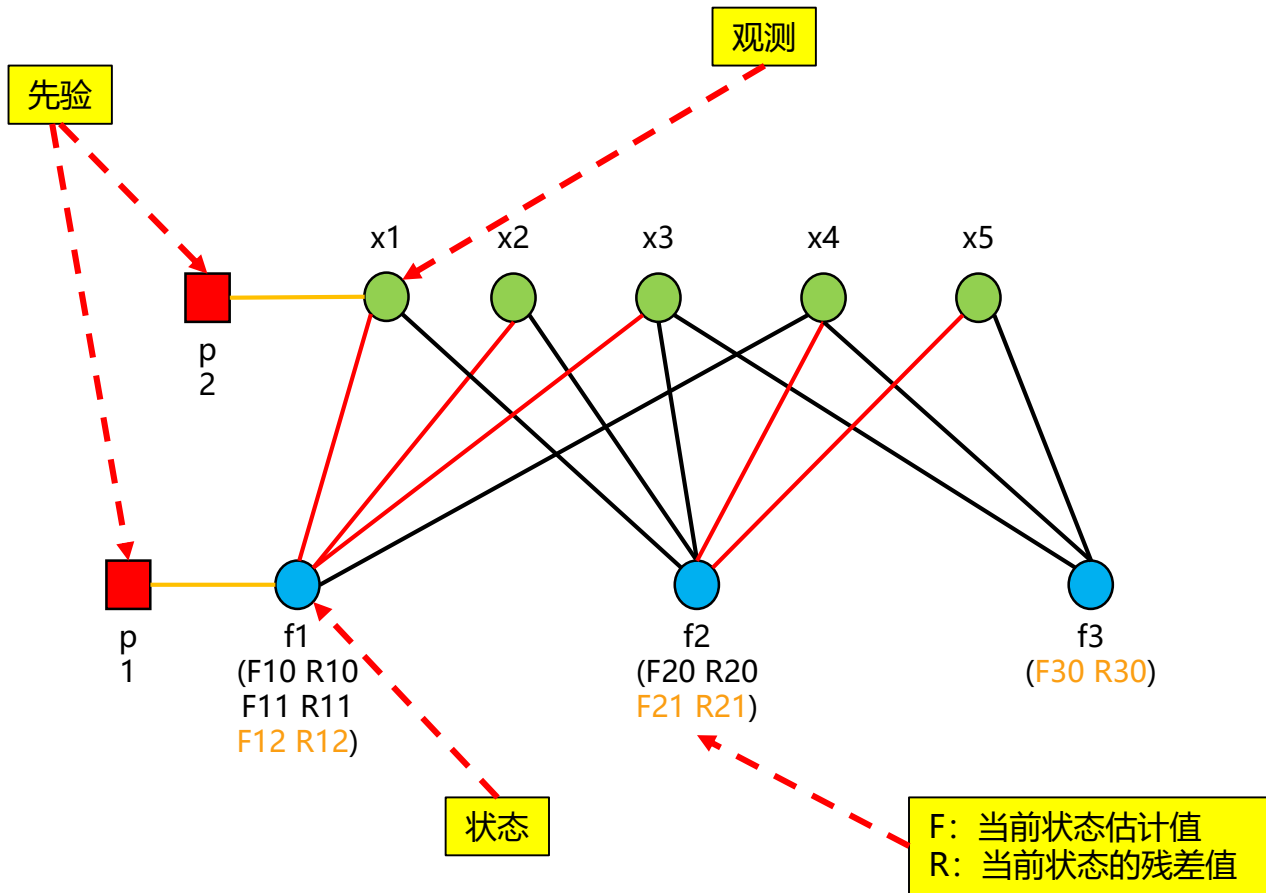




5、DSO中的solver

边缘化举例

f3为新加入的帧，
完成优化后得到
状态F12/R12，
F21/R21，
F30/R30，将
F30/R30设置为
线性化点

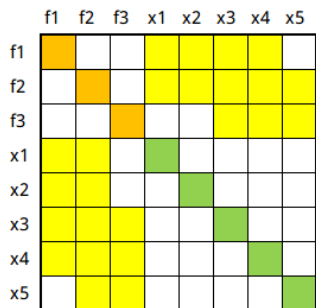




5、DSO中的solver

边缘化举例

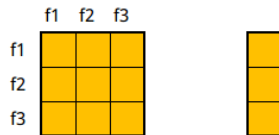
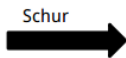
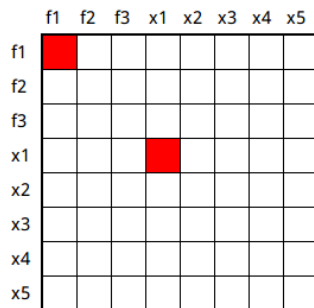
使用Hessian来表示上述过程



使用F10 F20计算



使用R11 R20计算



解出F12/R12, F21/R21, F30/R30

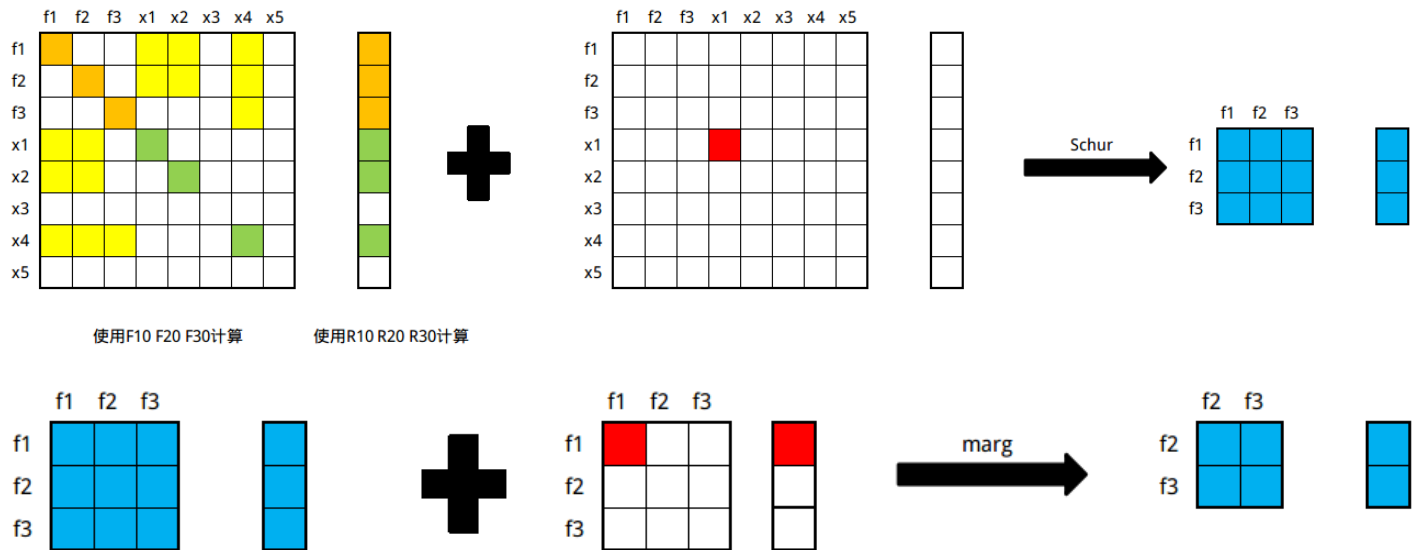


5、DSO中的solver

边缘化举例

x1、x2、x4边缘化掉，x3丢掉，构造边缘化先验HM，bM

边缘化：



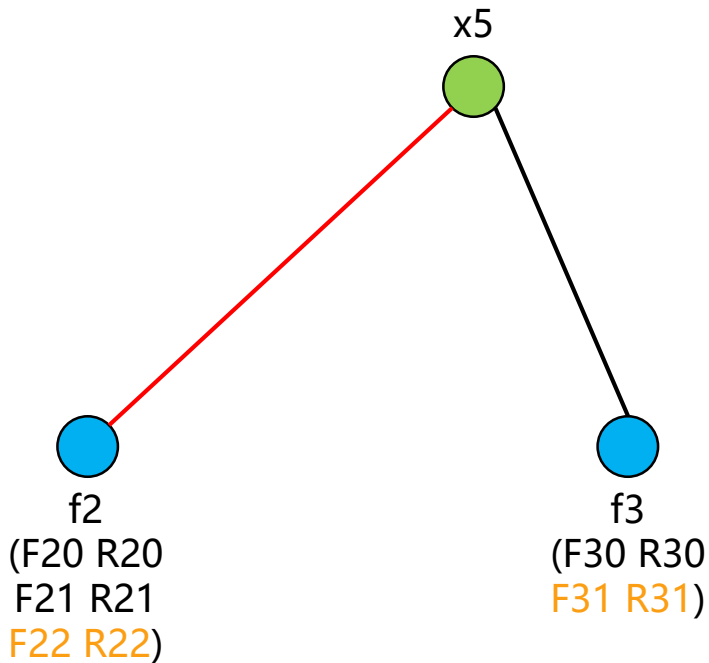
边缘化的时候加上先验



5、DSO中的solver

边缘化举例

边缘化之后会得到边缘化的先验矩阵，然后求解得状态：
F22/R22, F31/R31



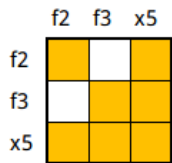


5、DSO中的solver

边缘化举例

使用Hessian来表示上述过程

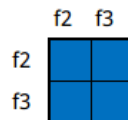
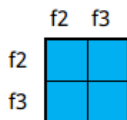
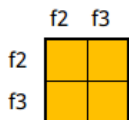
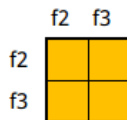
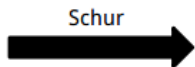
边缘化后:



使用F20 F30计算



使用R21 R30计算



使用b-Hdx计算

解出F22/R22, F31/R31



- Code

Residuals.cpp

OptimizationBackend/

HessianBlocks.cpp

FullSystem.cpp

FullSystemOptimize.cpp

FullSystemMarginalize.cpp



滑窗优化



1、滑窗优化



2、零空间的处理



3、DSO边缘化策略



4、FEJ策略



5、DSO中的solver



6、总结



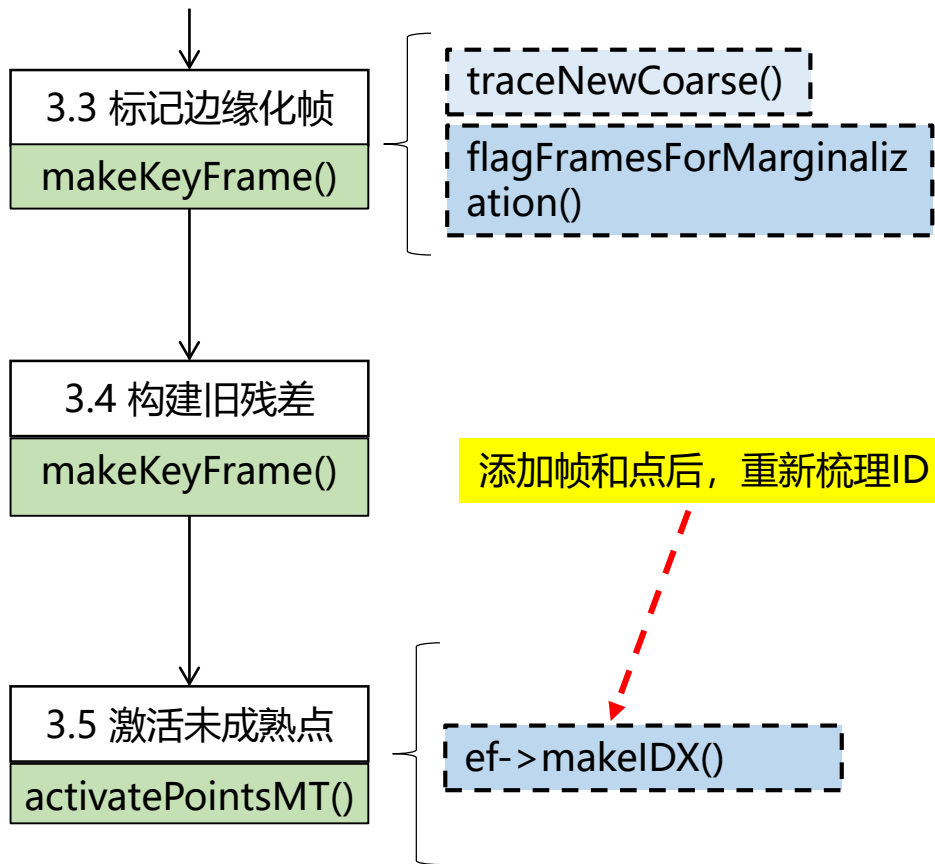
6、总结

- 留下的点(去除边缘化+删除)占所有点小于5%
- 和参考帧比**曝光变化**较大
- 保证滑窗内有5个关键帧
- 如果还大于7个关键帧, 则边缘化掉到最新关键帧的距离占所有距离比最大的。保证良好的空间结构

- 加入关键帧, 能量函数中insertFrame(), 设置相对位姿和线性化点
- 构建新关键帧和之前关键帧之间的残差PointFrameResidual, 并插入能量函数insertResidual(), DSO选择先**全部构建**, 之后再删除

- 在最新关键帧上生成**距离地图**(点附近第一层是1, 第二层2,.....)
- 满足搜索范围小于8, 质量好, 逆深度为正, 删除外点和边缘化帧上的点
- 将点投影到**距离地图**上, 大于阈值(阈值根据当前点数量调节)激活
- 使用LM优化选出来点的**逆深度**, 将内点构建PointHessian和残差一起加入能量函数
- 删除未收敛的点

滑窗优化





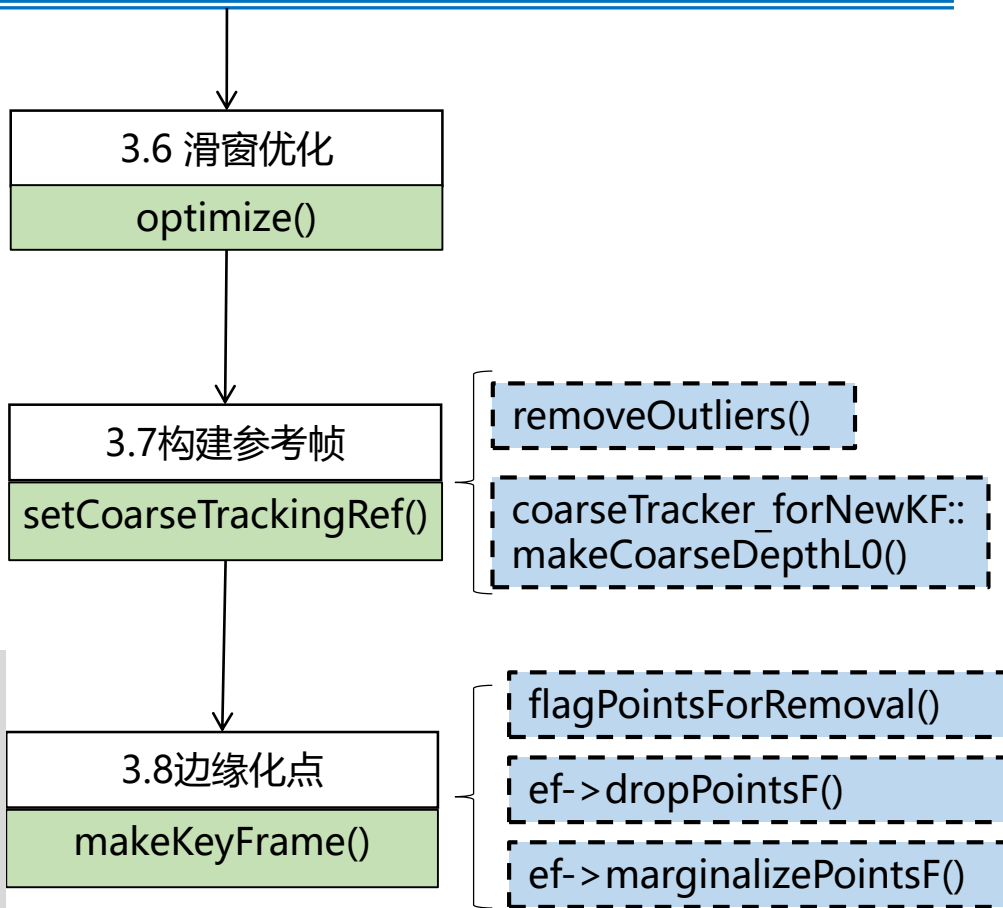
6、总结

滑窗优化

- 使用GN法对位姿、光度参数、逆深度、相机内参进行优化，由于边缘化需要维护两个H矩阵和b向量
- 其中位姿和光度参数使用FEJ，除了最新一帧，相关H矩阵固定在上一次优化，残差仍然使用更新后的状态求
- 被边缘化部分残差更新： $b = b + H * \delta$
- 其中第一帧位姿和其上点逆深度，由于初始化具有先验，光度参数有先验
- 使用伴随性质将相对位姿变为世界系下的(local -> global)
- 减去求解出的增量零空间部分，防止在零空间乱飘

- 将最新帧设置为参考帧，并将所有的点向最新帧投影，并且在金字塔从下向上使用协方差加权生成逆深度，然后对于每一层使用周围点来尽可能生成像素逆深度，这样保证有足够多得点来跟踪，鲁棒。

- 边缘化使得点的残差变很少、最新一帧看不到、连续两帧外点，主帧被边缘化的点候选边缘化或删除
- 如果是内点，并且逆深度协方差小于阈值则标记为边缘化
- 其它的直接丢弃
- 把挑出来的边缘化点构造H- HSC /b- bSC，加到HM，bM中



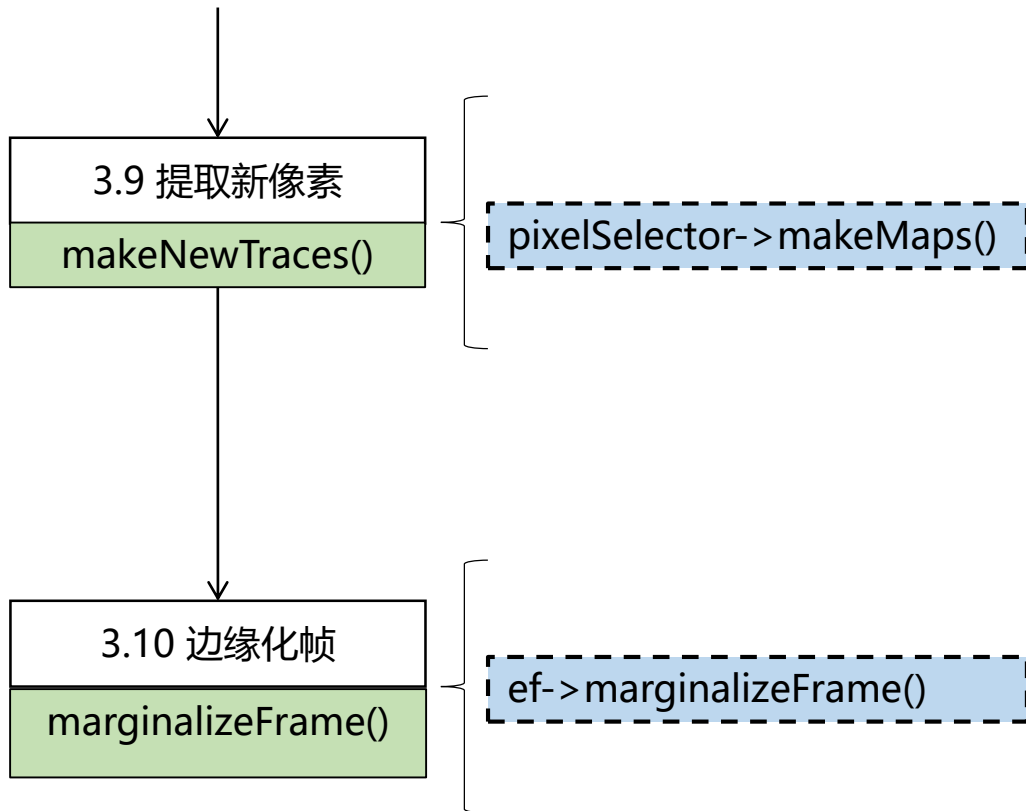


6、总结

滑窗优化

- 在最新帧第0层提取随机方向梯度最大的像素，并且构造成 ImmaturePoint

- 将被边缘化的帧的8个状态挪到右下角，然后计算Schur Complement，将其消掉
- 删除在被边缘化帧上的残差
- DSO里面操作的都是 PoseGraph





Reference

- Nocedal J, Wright S. Numerical optimization[M]. Springer Science & Business Media, 2006.
- Yang Y, Maley J, Huang G. Null-space-based marginalization: Analysis and algorithm[C]//2017 IEEE/RSJ International Conference on Intelligent Robots and Systems (IROS). IEEE, 2017: 6749-6755.
- Roumeliotis S I, Kottas D G, Guo C, et al. Observability-constrained vision-aided inertial navigation: U.S. Patent 9,243,916[P]. 2016-1-26.
- Meyer C D. Matrix analysis and applied linear algebra[M]. Siam, 2000.
- Zhang Z, Gallego G, Scaramuzza D. On the comparison of gauge freedom handling in optimization-based visual-inertial state estimation[J]. IEEE Robotics and Automation Letters, 2018, 3(3): 2710-2717.
- Dong-Si T C, Mourikis A I. Consistency analysis for sliding-window visual odometry[C]//2012 IEEE International Conference on Robotics and Automation. IEEE, 2012: 5202-5209.



结语

感谢各位聆听！
Thanks for Listening

